



СИНТЕЗ ДИПОРФИРИНОВЫХ СИСТЕМ НА ОСНОВЕ ПРОИЗВОДНЫХ ТЕТРАФЕНИЛПОРФИРИНА, СОЕДИНЕННЫХ ПЕПТИДНЫМИ СПЕЙСЕРАМИ

© 2000 г. Н. В. Коновалова, Н. А. Караваева, А. А. Грибков,
В. Н. Лузгина, Р. П. Евстигнеева[#]

Московская государственная академия тонкой химической технологии им. М. В. Ломоносова,
117571, Москва, просп. Вернадского, 86

Поступила в редакцию 14.05.99 г. Принята к печати 03.08.99 г.

На основе производных тетрафенилпорфирина синтезированы дипорфириновые системы, соединенные между собой дипептидным и трипептидным спейсерами, включающими остатки глицина и фенилаланина. Исследованы физико-химические свойства полученных соединений.

Ключевые слова: фотосинтез; тетрафенилпорфирин; аминокислоты; пептиды; дипорфириновые структуры.

Пигмент-белковые комплексы составляют основу реакционных центров природных фотосинтетических систем [1]. Взаимодействия пигментов с белковым окружением влияют на фотохимические характеристики процесса фотосинтеза [2]. Известно также, что пространственная структура молекул белка обеспечивает определенное взаимное расположение хромофоров в пространстве, необходимое для осуществления электронного и энергетического переноса [3]. Кроме того, вторичная структура полипептидных цепей оказывает влияние на скорость и эффективность этих процессов [4].

Моделирование пигмент-белковых взаимодействий предоставляет возможность для установления путей и механизмов переноса энергии и электрона в ходе природного фотосинтетического процесса. С этой целью создаются синтетические дипорфириновые системы, в которых тетрапиррольные кольца ковалентно связаны пептидными спейсерами [5–7].

В продолжение проводимых нами исследований [8] синтезирован ряд моно- и дипорфириновых структур, ковалентно связанных с аминокислотами и пептидами. Для создания дипорфиринов на основе 2-(2-карбокси)винил-5,10,15,20-тетрафенилпорфирина (I) были получены диады, содержащие остатки глицина (III), а также дипептида Gly-Phe (VI).

Для создания амидной связи в соединениях (II) и (V) использовали DCC-метод. Выходы на стадии конденсации составили 61 и 73% соответственно.

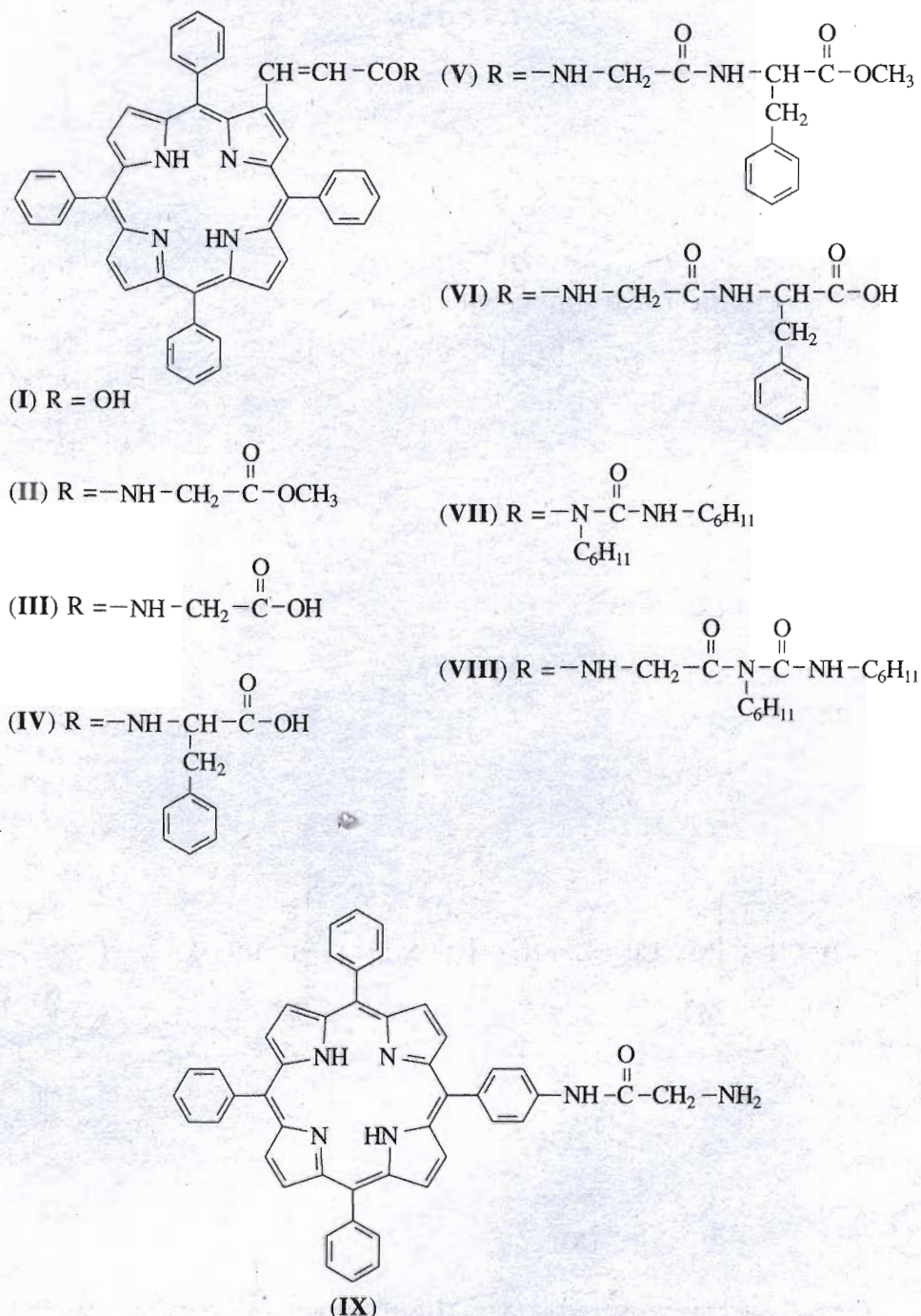
При получении диады (II) в качестве побочных продуктов были выделены порфириновые производные *N*-ацилизодициклогексилмочевины (VII) и (VIII), образующиеся в результате взаимодействия порфиринов (I) и (III) с DCC, что было подтверждено данными масс-спектрометрии. Гидролиз сложноэфирных групп в диадах (II) и (V) проводили раствором гидроксида калия в метаноле с выходом кислот (III) и (VI) 68 и 65% соответственно.

Полученное соединение (VI), а также описанные ранее диады (IV) и (IX) [8] использовали для создания дипорфириновых структур (X) и (XI), в которых макроциклы соединены между собой дипептидным и трипептидным спейсерами соответственно (схема). Соединения (X) и (XI) были получены с применением DCC-метода с выходом 33 и 16% соответственно.

Строение всех полученных соединений подтверждено данными электронной, ИК-, ¹Н-ЯМР-спектроскопии и масс-спектрометрии. В электронных спектрах производных (II), (III), (V) и (VI) наблюдался сдвиг максимумов поглощения в коротковолновую область по сравнению со спектром исходного порфирина (I). В ИК-спектрах соединений (II) и (V) присутствовали полосы поглощения, соответствующие валентным колебаниям карбонильных групп сложноэфирных и амидных связей. В ИК-спектрах диад (III) и (VI) отмечено исчезновение полос поглощения, относящихся к валентным колебаниям карбонила сложноэфирных связей, и появление полос, соответствующих валентным колебаниям кислотного карбонила.

В масс-спектре соединения (X) присутствовал пик молекулярного иона (*m/z* 1501) низкой ин-

[#] Автор для переписки (тел.: (095) 434-86-78, e-mail: evstigneeva@httos.mitht.msk.ru).



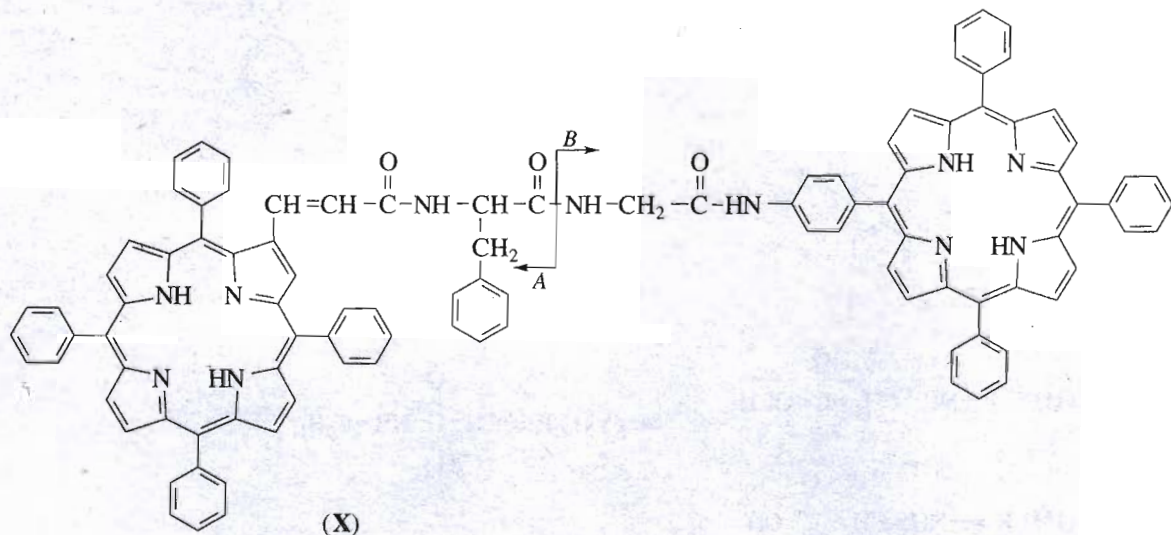
тенсивности. В случае дипорфириновой системы (**XI**) сигнал, соответствующий молекулярному иону, зафиксировать не удалось. Подтверждение структуры полученных дипорфиринов (**X**) и (**XI**) осуществляли по фрагментным ионам (см. схему и таблицу).

В масс-спектре соединения (**X**) наблюдались два фрагментных иона, соответствующих расщеплению молекулы по пептидной связи Phe-Gly. В случае соединения (**XI**) при увеличении длины пептидного мостика расщепление происходило по

двум участкам с образованием серии фрагментных ионов *A-D* (схема). Наблюдаемые закономерности фрагментации аналогичны результатам, полученным нами ранее при исследовании физико-химических характеристик дипорфириновых структур с аминокислотными и пептидными мостиками в условиях полевой десорбции [8].

С помощью компьютерного моделирования (программа "Autodesk HyperChem" версий 2.0 и 3.0) методом силового поля MM⁺ определена предпочтительная конформация дипорфириновой сис-

(IV) + (IX)



(VI) + (IX)

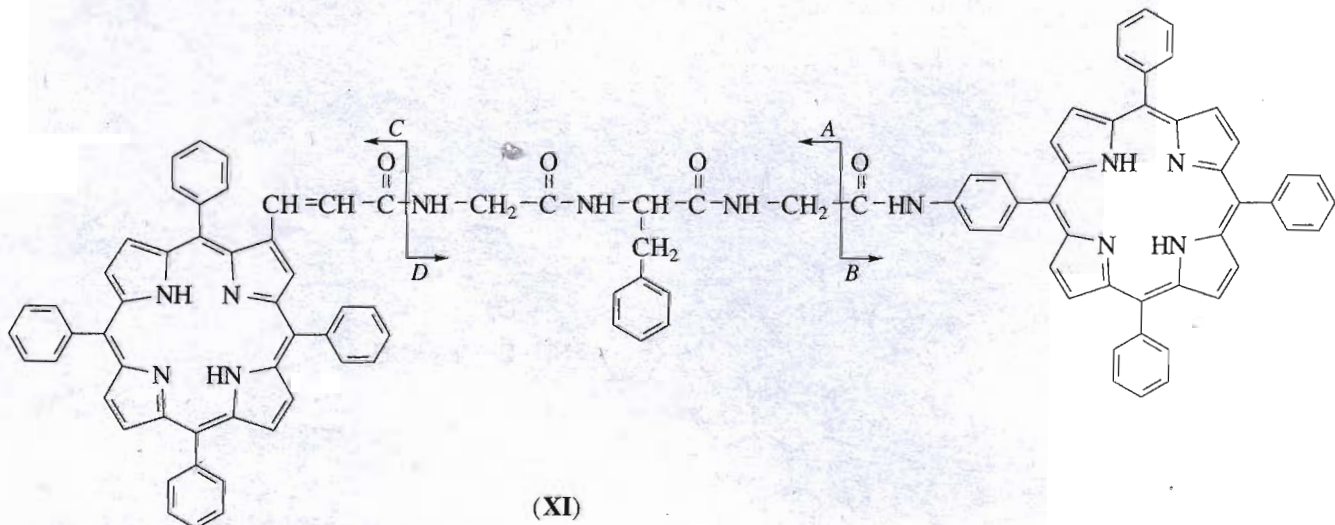


Схема. Схема синтеза соединений (X) и (XI) и их фрагментация в масс-спектрах.

темы, содержащей в качестве спейсера трипептид Gly-Phe-Gly (XI). Вследствие сложности молекулы и гибкости ковалентного мостика, при определении геометрии молекулы учитывалось свободное вращение вокруг ковалентных связей спейсера. Расчет конформации с наименьшей энергией осуществляли последовательным изменением (от 0 до 350° с шагом 10°) пары торсионных углов ковалентного мостика для нахождения областей с наименьшей энергией. После оптимизации полученной конформации при

помощи метода Ньютона–Рафсона [9] (градиент 0.01 ккал/(Å моль)) те же расчеты проводились для следующей пары торсионных углов. Окончательная оптимизация молекулярной структуры осуществлялась при помощи метода Флитчера–Ривса [9] (с тем же градиентом). Общая энергия молекулы составила 151.52 ккал/моль, тогда как начальная (определенная без оптимизации торсионных углов) – 162.05 ккал/моль. Проведенные расчеты показали, что в предпочтительной конформации димера фенильная группа остатка фе-

Масс-спектры соединений (X) и (XI)

Соединение	Молекулярный ион, m/z ($I_{\text{отн.}}$, %)	Фрагментные ионы, m/z ($I_{\text{отн.}}$, %)			
		A^+	B^+	$(C-H)^+$	$(D + H)^+$
(X)	1501 (1.1)	815 (15.6)	686 (3.2)	—	—
(XI)	—	901 (100)	657 (32)	667 (13.3)	891 (100)

нилаланина отстоит от плоскости одного из порфиринов на 6.02 Å. Два порфириновых макроцикла практически перпендикулярны друг другу и расстояние между ними составляет 11.3–11.5 Å (рисунок).

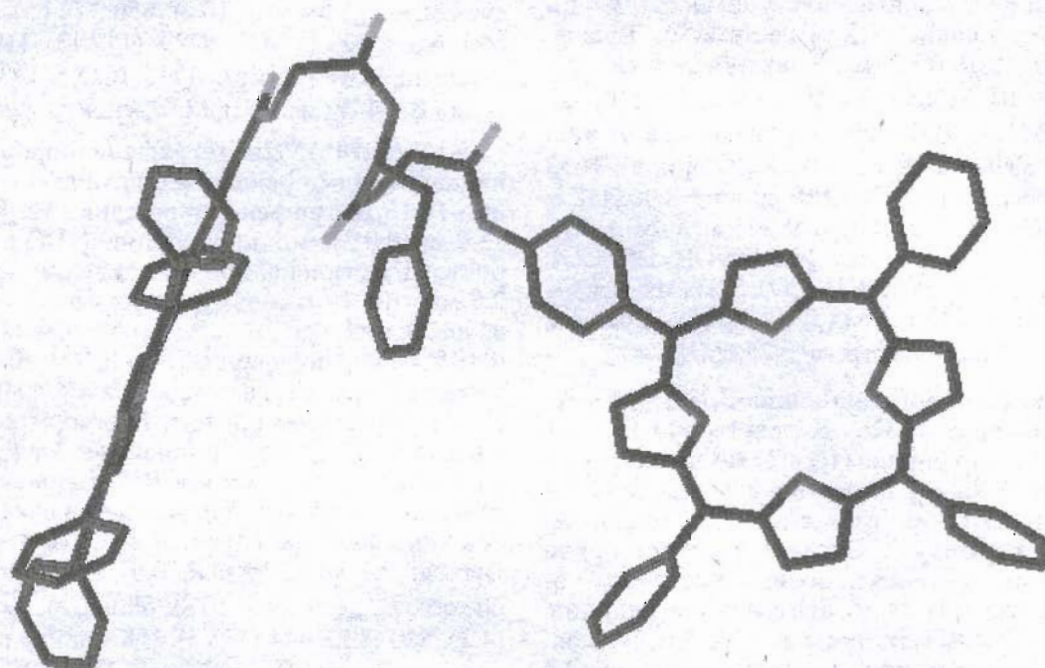
Предыдущие исследования фотоактивных дипорфириновых соединений показали, что при подобной конформации молекулы в системе может протекать фотоиндуцируемый перенос энергии. Так, в димерном ансамбле с углом между порфириновыми плоскостями около 90° и расстоянием “центр–центр”, равным приблизительно 22.5 Å, внутримолекулярный синглетный энергетический перенос происходит со скоростью $9 \times 10^8 \text{ c}^{-1}$ и эффективностью 60% [10]. Критическое расстояние для осуществления переноса энергии через пространство, согласно теории Форстера, составляет около 24 Å [11]. Полученные результаты расчетного определения предпочтительного взаимного расположения и расстояния между хромофорами в соединении (XI) позволяют предположить, что в данной дипорфириновой системе также может происходить процесс энергетического

переноса от одного порфиринового макроцикла к другому. В дальнейшем предполагается исследовать фотохимические свойства полученных соединений, о чем будет сообщено в последующих публикациях.

ЭКСПЕРИМЕНТАЛЬНАЯ ЧАСТЬ

2-(2-Карбокси)винил-5,10,15,20-тетрафенилпорфирин (I) получен по ранее описанной методике [12, 13]. 2-[2-(Фенилаланино)карбонил]винил-5,10,15,20-тетрафенилпорфирин (IV) и 5-[n-(N-глицил)аминофенил]-10,15,20-трифенилпорфирин (IX) синтезированы методами, описанными в работе [8].

В работе использовали аминокислоты *L*-ряда фирмы “Reanal”. Синтезы осуществляли в безводных растворителях. Хлористый метилен и хлороформ дополнительно перегоняли над поташом. Ход реакций и индивидуальность полученных соединений контролировали методом ТСХ на пластинках Silufol UV-254 (Kavalier) в системах растворителей: эфир–гексан, 4 : 1 (A), эфир–гек-



Предпочтительная конформация соединения (XI).

сан, 1 : 1 (Б), хлороформ–метанол, 9 : 1 (В), хлороформ–метанол, 9 : 0.5 (Г). Очистку полученных веществ проводили колоночной хроматографией и препаративной ТСХ на пластинках (10 × 15 см) с силикагелем L 40/100 (Chemapol), используя те же системы растворителей.

Электронные спектры снимали на приборе Hitachi-557 в хлороформе, ИК-спектры – на спектрофотометре Shimadzu IR-435. ¹Н-ЯМР-спектры получены на приборах Bruker MSL-200 (соединение (III) и (X)), Bruker AC-200 (соединение (V)) и Bruker AM-300 (соединение (XI)) для растворов веществ в CDCl₃ (приведены химические сдвиги (δ , м. д.) относительно Me₄Si). Масс-спектры снимали на спектрометре Varian-Mat-731 методом полевой десорбции (соединения (II) и (X)), на время-пролетном масс-спектрометре МСБХ методом плазменной десорбции (соединения (III), (V), (VI), (VII), (VIII)) и на спектрометре Vision 2000 Thermo Bioanalysis (Finnigan Mat) методом MALDI (соединение (XI)).

2-[2-(O^α-Метилглицино)карбонил]винил-5,10,15,20-тетрафенилпорфирина (II). К раствору 215 мг (1.712 ммоль) хлоргидрата метилового эфира глицина в 22 мл хлороформа прибавляли 0.25 мл (1.799 ммоль) триэтиламина и перемешивали 1 ч. Растворитель удаляли в вакууме. Остаток перерастворяли в 160 мл хлористого метилена, прибавляли при охлаждении 195 мг (0.285 ммоль) порфирина (I) и 67.1 мг (0.325 ммоль) DCC и перемешивали 2.5 ч. Растворитель удаляли в вакууме. Остаток растворяли в 15 мл толуола и оставляли на 12 ч при 0°C. Выпавший осадок дициклогексилмочевины отделяли, толуол удаляли в вакууме. Остаток очищали препаративной ТСХ в системе А. Выход: 131.1 мг (61%), R_f 0.78 (B). Электронный спектр, $\lambda_{\text{макс}}$, нм ($\epsilon \times 10^{-3}$): 665 (1.5), 600 (1.8), 560 (2.0), 520 (3.6), 425 (311.3). ИК-спектр в вазелиновом масле, ν, см⁻¹: 3310 (NH), 1721 (CO сл. эфира), 1653 (амид I), 1596 (амид II). ¹Н-ЯМР-спектр: 8.96 (1H, с, βН), 8.82 (6H, д, J 6 Гц, βН), 8.19 (8H, м, аром.), 7.76 (12H, м, аром.), 7.14 (1H, д, J 15.5 Гц, CH=CH-CO), 6.62 (1H, д, J 15.5 Гц, CH=CH-CO), 5.93 (1H, м, CO-NH), 4.17 (2H, с, CH₂), 3.83 (3H, с, CH₃), -2.62 (2H, с, NH порф.). Масс-спектр, m/z: 756 [M]⁺.

2-[2-(Глицино)карбонил]винил-5,10,15,20-тетрафенилпорфирина (III). К раствору 131 мг (0.173 ммоль) порфирина (II) в 20 мл хлороформа прибавляли 30 мл 0.2 н. раствора гидроксида калия в метаноле и кипятили смесь 1 ч. Растворитель удаляли в вакууме. Остаток перерастворяли в хлороформе, промывали водным раствором соляной кислоты (pH 3) до нейтральной реакции, затем водой (2 × 50 мл). Экстракт сушили сульфатом натрия, растворитель удаляли в вакууме. Остаток очищали препаративной ТСХ в системе В. Выход: 87.4 мг (68%), R_f 0.47 (B). Электронный

спектр, $\lambda_{\text{макс}}$, нм ($\epsilon \times 10^{-3}$): 660 (1.35), 597 (1.53), 560 (2.3), 521 (3.75), 427 (305.2). ИК-спектр в вазелиновом масле, ν, см⁻¹: 3310 (NH), 1707 (CO в COOH), 1624 (амид I), 1552 (амид II). Масс-спектр, m/z: 742 [M]⁺.

2-[2-(O^α-Метил-L-фенилаланилглицино)карбонил]винил-5,10,15,20-тетрафенилпорфирина (V). Получен из 87.4 мг (0.118 ммоль) порфирина (III) и 90 мг (0.417 ммоль) гидрохлорида метилового эфира фенилаланина по описанной для соединения (II) методике. Очистку проводили колоночной хроматографией, элюируя смесью растворителей Г. Фракцию с R_f 0.78 (система В) подвергали повторной очистке препаративной ТСХ в системе А. Выход: 77.7 мг (73%), R_f 0.78 (B). Электронный спектр, $\lambda_{\text{макс}}$, нм ($\epsilon \times 10^{-3}$): 660.8 (3.69), 599.6 (3.93), 560.6 (4.81), 522.8 (10.99), 428.0 (167.38). ИК-спектр в таблетке KBr, ν, см⁻¹: 3028 (NH), 1735 (CO сл. эфира), 1654 (амид I), 1495 (амид II). ¹Н-ЯМР-спектр: 8.81 (7H, м, βН), 8.2 (8H, м, аром. порф.), 7.78 (12H, м, аром. порф.), 7.15 (5H, м, аром. Phe), 7.05 (1H, д, J 15.5 Гц, CH=CH-CO), 6.64 (1H, д, J 15.5 Гц, CH=CH-CO), 5.97 (1H, м, CO-NH-CH₂), 4.94 (1H, м, CO-NH-CH), 4.02 (1H, м, NH-CH-CH₂), 3.78 (2H, м, NH-CH₂-CO), 3.73 (3H, с, CH₃), 3.16 (2H, м, CH-CH₂), -2.63 (2H, с, NH порф.). Масс-спектр, m/z: 903 [M]⁺.

2-[2-(L-Фенилаланилглицино)карбонил]винил-5,10,15,20-тетрафенилпорфирина (VI). Получен из 70 мг (0.078 ммоль) порфирина (V) по методике, описанной для соединения (III). Условия очистки те же. Выход: 45 мг (65%), R_f 0.3 (B). Электронный спектр, $\lambda_{\text{макс}}$, нм ($\epsilon \times 10^{-3}$): 656.2 (2.65), 599 (4.86), 560 (6.63), 523 (13.51), 428.8 (147.13). ИК-спектр в таблетке KBr, ν, см⁻¹: 1717 (CO в COOH), 1645 (амид I), 1441 (амид II). Масс-спектр, m/z: 889 [M]⁺.

5-[2'-(5',10',15',20'-тетрафенилпорфиринил)винилкарбонил-L-фенилаланилглицинил]-n-аминофенил-10,15,20-трифенилпорфирина (X). К раствору 13.2 мг (0.019 ммоль) порфирина (IX) в 10 мл хлористого метилена при охлаждении прибавляли 2.6 мкл (0.019 ммоль) триэтиламина. Перемешивали 20 мин при 0°C. Затем прибавляли 15.8 мг (0.019 ммоль) порфирина (IV), 10.4 мг (0.077 ммоль) 1-гидроксибензотриазола и 3.9 мг (0.019 ммоль) DCC и перемешивали 10 ч. Растворитель удаляли в вакууме. К остатку прибавляли 3 мл этилацетата и оставляли на 12 ч при 0°C. Выпавший осадок отделяли, растворитель удаляли в вакууме. Остаток очищали препаративной ТСХ в системе Г. Выход: 9.4 мг (33%), R_f 0.67 (Г). Электронный спектр, $\lambda_{\text{макс}}$, нм ($\epsilon \times 10^{-3}$): 650 (1.2), 595 (2.6), 555 (4.1), 520 (8.2), 424 (153.5). ИК-спектр в пленке, ν, см⁻¹: 1655 (амид I), 1580 (амид II). ¹Н-ЯМР-спектр: 8.8 (15H, м, βН), 8.0–8.2 (16H, м, аром. порф.), 7.72 (28H, м, аром. порф. и Phe), 7.01 (1H, д, J 15.5 Гц,

$\text{CH}=\text{CH}-\text{CO}$), 6.8 (1H, д, J 15 Гц, $\text{CH}=\text{CH}-\text{CO}$), 6.0 (1H, м, $\text{CO}-\text{NH}-\text{CH}_2$), 5.28 (1H, м, $\text{CO}-\text{NH}-\text{C}_6\text{H}_4$), 4.82 (1H, м, $\text{CO}-\text{NH}-\text{CH}$), 4.26 (1H, м, $\text{NH}-\text{CH}-\text{CH}_2$), 3.4 (2H, м, $\text{NH}-\text{CH}_2$), 3.12 (2H, м, $\text{CH}-\text{CH}_2$), -2.65 (4H, с, NH порф.). Масс-спектр, m/z : 1501 [$M]^+$, 815, 686.

5-[2'-(5',10',15',20'-тетрафенилпорфирины)-*n*-аминофенил-10,15,20-трифенилпорфирины (XI). Получен из 17.7 мг (0.02 ммоль) порфирина (VI) и 14.2 мг (0.021 ммоль) порфирина (IX) по методике, описанной для соединения (X). Очистку проводили препаративной ТСХ в системе А. Выход: 5 мг (16%), R_f 0.24 (А). Электронный спектр, $\lambda_{\text{макс}}$, нм ($\epsilon \times 10^{-3}$): 656 (1.2), 598 (4.2), 553 (5.3), 552 (8.5), 427 (116.8). ^1H -ЯМР-спектр: 8.81 (15H, м, βH), 8.21 (16H, м, аром. порф.), 7.78 (23H, м, аром. порф.), 7.15 (5H, м, аром. Phe), 7.1 (1H, д, J 15.5 Гц, $\text{CH}=\text{CH}-\text{CO}$), 6.6 (1H, д, J 15.5 Гц, $\text{CH}=\text{CH}-\text{CO}$), 6.04 (1H, м, $\text{CO}-\text{NH}-\text{CH}_2$), 5.2 (1H, с, $\text{CO}-\text{NH}-\text{C}_6\text{H}_4$), 4.94 (1H, м, $\text{CO}-\text{NH}-\text{CH}$), 4.02 (1H, м, $\text{NH}-\text{CH}-\text{CH}_2$), 3.78 (2H, м, $\text{NH}-\text{CH}_2-\text{CO}$), 3.17 (2H, м, $\text{CH}-\text{CH}_2$), -2.6 (4H, с, NH порф.). Масс-спектр, m/z : 901, 657, 667, 891.

Авторы благодарят Российский фонд фундаментальных исследований за поддержку данной работы (проекты № 97-03-33158 и № 96-15-97709).

СПИСОК ЛИТЕРАТУРЫ

1. Клейтон Р. // Фотосинтез. Физические механизмы и химические модели: Пер. с англ. М.: Мир, 1984. 350 с.
2. Клеваник А.В. // Биол. мембранны. 1998. Т. 15. С. 259–272.
3. Rabanal F., Gibney B.K., Degrado W.F. // Inorg. Chim. Acta. 1996. V. 243. P. 213–218.
4. Aoudia M., Rodgers M.A. J. // J. Am. Chem. Soc. 1997. V. 119. P. 12859–12868.
5. Tamiaki H., Suzuki S., Maruyama K. // Bull. Chem. Soc. Jpn. 1993. V. 66. P. 2633–2637.
6. Tamiaki H., Nomura K., Maruyama K. // Bull. Chem. Soc. Jpn. 1993. V. 66. P. 3062–3068.
7. Tamiaki H., Nomura K., Maruyama K. // Bull. Chem. Soc. Jpn. 1994. V. 67. P. 1863–1871.
8. Евстигнеева Р.П., Лузгина В.Н., Киселева Н.Ю., Коновалова Н.В., Ракитина И.В. // Биоорган. химия. 1998. Т. 24. С. 229–235.
9. Brooks B.R., Brucolieri R.E., Olafson B.D., States D.J., Swaminathan S., Karplus M. // J. of Computational Chemistry. 1983. V. 4. P. 187–217.
10. Sessler J.L., Wang B., Harriman A. // J. Am. Chem. Soc. 1995. V. 117. P. 707–714.
11. Forster T. // Ann. Phys. 1948. V. 2. P. 55–75.
12. Макаров В.В., Филиппович Е.И., Евстигнеева Р.П. // Химия гетероциклических соединений. 1987. № 9. С. 194–199.
13. Пономарев Г.В., Марафин Г.Б. // Химия гетероциклических соединений. 1982. № 1. С. 59–64.

The Synthesis of Diporphyrin Systems on the Basis of Tetraphenylporphyrin Derivatives Bridged with Peptide Spacers

N. V. Konovalova, N. A. Karavaeva, A. A. Gribkov, V. N. Luzgina, and R. P. Evstigneeva[#]

Lomonosov State Academy of Fine Chemical Technology, pr. Vernadskogo 86, Moscow, 117571 Russia

Diporphyrin systems based on tetraphenylporphyrin derivatives bridged with dipeptide or tripeptide spacers containing Gly and Phe residues were synthesized, and their physicochemical properties were studied.

Key words: amino acids, diporphyrin structures, peptides, photosynthesis, tetraphenylporphyrin

[#] To whom correspondence should be addressed; phone: +7 (095) 434-8678; e-mail: evstigneeva@httos.mitht.msk.ru.

For the full text of English translation of this article, see *Russian Journal of Bioorganic Chemistry*, 2000, vol. 26, no. 2. It is also available (free) in PDF format through the Web Site <http://www.maik.rssi.ru/>.